

## **Литература**

1. Брискин Б. С., Алиев И. М., Полонский А. К. и др. Экспериментальное и клиническое обоснование эффективности чрезкожного облучения крови // Матер. Междунар. конфер. «Новые напр. лаз. мед.»
2. Иванов А. П. Оптика рассеивающих сред Мн.: Наука и техника, 1969
3. Кугейко М. М. Лазерная диагностика и спектроскопия Минск, БГУ, 2002
4. Демтрайдер В. Лазерная спектроскопия: основные принципы и техника эксперимента. М.: Наука, 1985
5. Лазерная аналитическая спектроскопия / Под ред. В. С. Летохова. М.: Науку, 1987.
6. Малышев В. И. Введение в экспериментальную спектроскопию. М.: Наука, 1979.

## **СТРУКТУРНЫЕ ИЗМЕНЕНИЯ В ЛЕГИРОВАННЫХ МЫШЬЯКОМ СЛОЯХ SIGE СПЛАВОВ ПРИ ТЕРМИЧЕСКОМ ОТЖИГЕ**

**К. В. Яцко, Д. В. Колтович**

Поиск альтернативных материалов, совместимых с Si-технологией, исследование их свойств, а также разработка приборных структур на их основе, являются приоритетными направлениями материаловедения и полупроводниковой электроники. В частности, тенденции развития микроэлектроники предполагают широкое использование метастабильных структур – высоколегированных и пересыщенных слоёв SiGe сплавов. Высоколегированные слои имеют важное значение для создания исток-стоковых областей в МОП технологии и эмиттеров – в биполярной. В связи с этим, система SiGe + As является перспективной для формирования приборов микроэлектроники.

Известно, что в кристаллах чистых кремния, легированных мышьяком до высокой концентрации, атомы As одновременно могут существовать в трех различных состояниях [1]:

- часть атомов As в концентрации  $n_e$ , не превышающей  $\sim 3,7 \cdot 10^{20} \text{ см}^{-3}$ , являются электрически активными;
- атомы As в концентрации выше  $C_{\text{sat}} \sim 3,2 \cdot 10^{21} \text{ см}^{-3}$  участвуют в образовании выделений фазы SiAs, где величина  $C_{\text{sat}}$  фактически соответствует пределу равновесной растворимости As в Si;
- большая фракция атомов As в концентрации  $N_{\text{as}} = C_{\text{sat}} - n_e$ , является электрически нейтральной, однако не образует выделений второй фазы, причем предполагается, что атомы As входят в состав подвижных примесно-дефектных комплексов. Атомная структура таких комплексов до настоящего времени является предметом активных дискуссий.

Недавно было показано, что в сплавах SiGe, эпитаксиально-выращенных на Si подложках, имеют место аналогичные закономерности [2].

В нашей работе были исследованы структурно-фазовые превращения в сильнолегированных мышьяком слоях  $\text{Si}_{0.5}\text{Ge}_{0.5}$  сплавов, при равновесном термическом отжиге.

## ПРИГОТОВЛЕНИЕ ОБРАЗЦОВ

Релаксированные эпитаксиальные слои сплава  $\text{Si}_{0.5}\text{Ge}_{0.5}$  толщиной 2 мкм были выращены методом молекулярно-лучевой эпитаксии на подложках (001)-Si р-типа. При осаждении слоёв проводилась имплантация ионов мышьяка с энергией 1 кэВ, в результате на глубине 60 нм был сформирован слой  $\text{Si}_{0.5}\text{Ge}_{0.5} + \text{As}$ , с концентрацией мышьяка  $N_{\text{As}} \sim 2 \times 10^{21} \text{ см}^{-3}$ . Поскольку МЛЭ рост осуществлялся при повышенной температуре  $\sim 550^\circ\text{C}$ , радиационные дефекты структуры отжигались практически полностью уже во время имплантации. Вместе с тем, некоторое количество точечных дефектов, комплексов или протяженных дефектных образований может быть генерировано при таком методе легирования. После этого, образцы данной структуры отжигались в атмосфере кислорода в широком диапазоне температур в течение 2-60 мин. Химический состав образцов исследовался с помощью резерфордовского обратного рассеяния канализированных ионов (РОРКИ) с использованием ионов  $\text{He}^+$  с энергией 1.5 МэВ. Структурно-фазовый состав был исследован методом просвечивающей электронной микроскопии (ПЭМ) в режиме планарной геометрии. Для этих целей использовался просвечивающий электронный микроскоп ЭМ-125 с укоряющим напряжением 100 кВ. Образцы для ПЭМ утонялись методом химико-динамического травления.

## РЕЗУЛЬТАТЫ И ИХ ОБСУЖДЕНИЕ

Из *рис. 1* видно, что отжиг при  $720^\circ\text{C}$  приводит к появлению на спектре РОРКИ пиков обратно рассеянных ионов  $\text{He}^+$  от  $\text{O}_2$  (область каналов 120-130), Si (область каналов 200-210), а также увеличению выхода от тяжелых атомов - Ge, As (область каналов 290-310). Было обнаружено, что при низких температурах ( $200^\circ\text{C} - 750^\circ\text{C}$ ) окисление SiGe сплавов, с высокой концентрацией Ge ( $\geq 50\%$ ), приводит к образованию на поверхности смешанного оксида  $\text{SiO}_2$  и  $\text{GeO}_2$ , что хорошо согласуется с ранее полученными результатами [3]. Известно, что процесс деактивации мышьяка связан с формированием сложных точечных дефектов. При образовании нейтрального комплекса  $\text{As}_2\text{V}$ , происходит смещение атомов As из узлов решётки на величину  $\sim 0.015 \text{ нм}$  [4], что также влияет на увеличение пика выхода обратно рассеянных ионов от мышьяка.

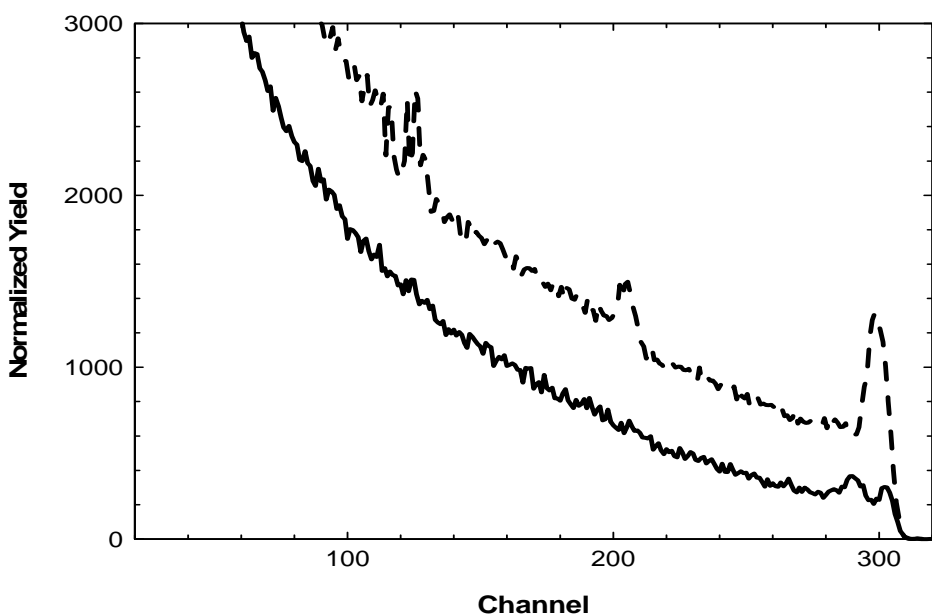


Рис. 1. Спектры POP в канализированном режиме :

— исходная структура, - - после отжига при 720°C 10 минут

Также из спектров РОРКИ было установлено, что термическое окисление сплавов  $\text{Si}_{1-x}\text{Ge}_x$  в атмосфере кислорода при температуре  $\sim 900^\circ\text{C}$  и выше, приводит к окислению Si до  $\text{SiO}_2$ , в результате Ge оттесняется фронтом окисла, смещаясь в глубь образца, вслед за движущейся границей раздела  $\text{SiGe}/\text{SiO}_2$ . Это связано с: существенными различиями между теплотами образования  $\text{SiO}_2$  и  $\text{GeO}_2$  (образование  $\text{SiO}_2$  значительно выгоднее) и малой растворимостью Ge в  $\text{SiO}_2$  [3].

Структурно-фазовые превращения в метастабильных слоях  $\text{SiGeAs}$  при дестабилизирующем термическом отжиге исследовались методом просвечивающей электронной микроскопии.

Был установлен пороговый характер формирования наноразмерных преципитатов в матрице  $\text{SiGe}$ . Образование выделений вторичной фазы происходит при превышении граничной температуры ( $915^\circ\text{C}$ ) и сопровождается отжигом дефектов дислокационного типа

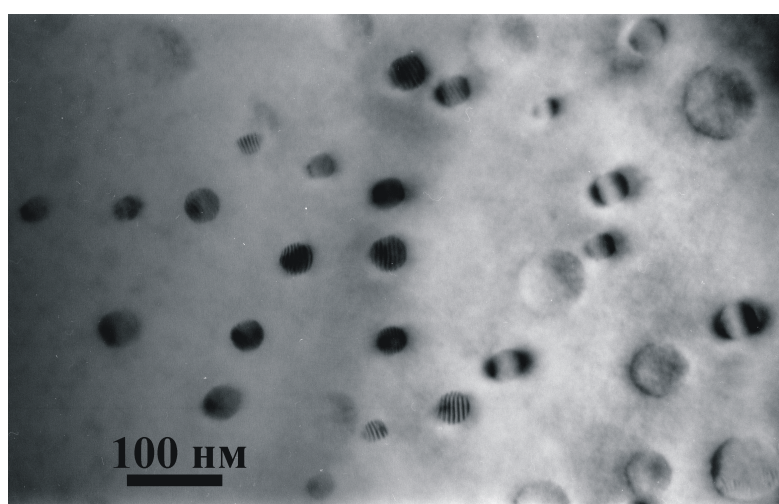


Рис. 2. Светлопольная ПЭМ микрофотография от образца после отжига при  $915^\circ\text{C}$  в течение 20 минут

(рис. 2). Сравнительный анализ контраста микрофотографии на рис. 2 предоставляет убедительное свидетельство определяющей роли степени пересыщения на структурно-фазовый состав образцов. Так, микрофотография содержит темные пятна на сером фоне. Более темный абсорбционный ПЭМ – контраст пятен по сравнению с фоном указывает на то, что соответствующие им структурные образования являются преципитатами, включающими в свой состав большее количество тяжелых атомов, чем окружающая матрица. По результатам электронной дифракции было установлено в состав преципитатов входят атомы Ge и As. Это согласуется с результатами расчёта композиционного состава методом рентгеновского микроанализа в [2]. При длительных временах термического окисления при температуре выше граничной выделения фазы GeAs обнаружено не было, что связано с диффузионным перераспределением мышьяка в образце.

## ЗАКЛЮЧЕНИЕ

Таким образом, в данной работе были исследованы структурные превращения и поведение примеси в  $\text{Si}_{1-x}\text{Ge}_x$  сплавах после высокодозной *in-situ* имплантации ионов  $\text{As}^+$  и последующего дестабилизирующего отжига в различных режимах. Обнаружено образование смешанного оксида  $\text{SiO}_2\text{-GeO}_2$  при окислении сплава  $\text{Si}_{0.5}\text{Ge}_{0.5}$  в области температур  $500^\circ\text{C}$ – $750^\circ\text{C}$ , отжиг при температурах выше  $900^\circ\text{C}$  приводит к сегрегации Ge. Установлена пороговая зависимость выделения фазы GeAs, определена граничная температура  $915^\circ\text{C}$ , при которой образование GeAs преципитатов сопровождается отжигом дефектов дислокационного типа.

## Литература

1. Nobili D. Solmi S. Parisini A. et.al. // Phys. Rev., 1994. – Vol.B 49. – N4, P. 2477-2483.
2. Гайдук П. И. Неравновесные процессы формирования материалов и структур твердотельной электроники: Дис... д-ра физ.-мат. наук. – Минск, 2004.
3. Rabie M. A. Haddara Y. M. Carette J. Kinetic model for the oxidation of silicon germanium alloys // J. Appl. Phys., 2005, Vol. 98 (7).
4. Nobili D. Carabelas Precipitation as the phenomenon responsible for the electrically inactive arsenic in silicon // J. Electrochem. Soc., 1983, N4, P922-928.

## ЭФФЕКТ ОТРИЦАТЕЛЬНОГО КОЭФФИЦИЕНТА ПУАССОНА ТВЕРДЫХ ТЕЛ

Т. А. Бракоренко

Одной из актуальных задач современного материаловедения является создание принципиально новых материалов, способных проявлять про-